

## IV-19 実効雨量を用いた盛土の危険度評価手法についての一考察

（財）鉄道総研 正員 山崎 慎介 正員 杉山 友康 正員 村石 尚  
國士館大学 フロー 岡田 勝也

### 1. はじめに

鉄道沿線の盛土は梅雨期や台風等の降雨によってしばしば崩壊し、安全で安定した輸送を目的とする鉄道にとって大きな障害となっており、鉄道では、様々な防災対策を実施するとともに、線区の特性にあった運転規制を実施している。このため、鉄道の保守担当者にとっては、降雨による盛土崩壊の危険性を判断する危険度評価手法が必要である。

一方、筆者ら<sup>1)</sup>は鉄道沿線斜面災害時の降雨パターン分析によって、現在鉄道で用いられている雨量指標の一つである連続雨量では必ずしも補足できない災害、すなわち先行降雨が影響すると思われる災害が全体の約20%発生していることを明らかにした。

本報告は、鉄道盛土の降雨災害危険度の評価手法<sup>2)</sup>をもとに、先行降雨を考慮した実効雨量を新しい雨量指標として取り入れた場合の危険度評価手法について検討したものである。

### 2. 既往の降雨災害危険度評価手法

前述の盛土の降雨災害危険度の評価手法は、過去の災害データをもとに数量化I類による多変量解析によって求められたもので、限界雨量 $R^{0.3} r^{0.3}$ は以下によって求められる<sup>2)</sup>。

$$R^{0.3} r^{0.3} = P + \sum (H, S_E, N_C, k, S_B, \theta_B, W_G, T_L, T_H, R_E) \dots \dots \dots (1)$$

ここに、R : 連続雨量 r : 時間雨量 P : 基本点(13.14) H : 盛土高さ S\_E : 土質 N\_C : 盛土強度

S\_B : 表層地盤地質 θ\_B : 基盤傾斜角 k : 透水係数 W\_G : 集水地形 T\_L : 縦断形態

T\_H : 横断形態 R\_E : 経験雨量 (各アイテムのカテゴリー分類は表1による。)

### 3. 実効雨量を用いた多変量解析

#### 3. 1 実効雨量の定義

実効雨量にはいくつかの定義があるが、最も簡単な表現に次式がある。

$$R_c = \sum_{i=0}^n \alpha^i r_i \dots \dots \dots (2)$$

$$\alpha = 0.5^{1/M}$$

ここに、R\_c : 実効雨量 r\_i : 該当時の雨量

r\_i : i 時間前の雨量 i : 経過時間

α : 減少係数 (0 < α < 1) M : 半減期

#### 3. 2 実効雨量を用いた降雨災害危険度評価手法

実効雨量を用いた解析を行うにあたり、式(1)の連続雨量Rを実効雨量R\_cと置き換えた次式を仮定した。

$$R_c^{0.3} r^{0.3} = P + \sum (H, S_E, N_C, k, S_B, \theta_B, W_G, T_L, T_H, R_E) \dots \dots \dots (3)$$

この式(3)をもとに、前述と同様の数量化I類による多変量解析を行った。ここで、実効雨量を算出するにあたっては、データの統一を図るために災害発生前30日分のアメダス雨量データを用いた。また、半減期Mについては、M=12hから12hピッチで120hまでの10通りとした。

### 4. 解析結果

#### 4. 1 半減期Mと重相関係数r<sub>c</sub>

表1 解析に使用した条件とカテゴリー分類

条件 (アイテム)	カテゴリー				
	1	2	3	4	5
盛土の 盛土高さ H	~3m	3~10	10~	----	----
構造 土質 S_E	粘性土	砂質土	礫質土	----	----
土質 盛土強度 N_C	~4	4~6	6~8	8~	----
基盤の 構造・土質	表層地盤地質 S_B	冲積層	その他	----	----
	基盤傾斜角 θ_B	平坦	10度以上	----	----
集水 浸透	透水係数 k	~10 <sup>-4cm/s</sup>	10 <sup>-4</sup> ~10 <sup>-3</sup>	10 <sup>-3</sup> ~10 <sup>-2</sup>	10 <sup>-2</sup> ~
	集水地形 W_G	無	対象斜面側	反対側	----
	縦断形態 T_L	切盛境界・ 落込勾配点	平坦・ 単勾配	----	----
	横断形態 T_H	純盛	片切片盛	旗付け盛	----
経験雨量	経験雨量×10 <sup>4</sup> R_E	~2	2~5	5~10	10~15
					15~

解析の結果により得られた半減期Mと重相関係数 $r_0$ の関係を図1に示す。これによると重相関係数 $r_0$ は、半減期Mが長くなるにつれて高い値を示すが、半減期M=48 h付近からは $r_0$ の増加の傾向は緩やかになつてき、重相関係数からみれば半減期Mに有為な差はなくなる。また、半減期Mを長くとると、実効雨量 $R_c$ を算出するにあたり多数のデータが必要となり、実用的には好ましくない。

#### 4.2 半減期Mと偏相関係数

解析結果より得られた各アイテムの偏相関係数の関係を示すと図2のようになる。

式(1)による解析と同様に式(3)による解析結果からも、経験雨量 $R_E$ が最も高い変相関係数を有しており、各アイテムの寄与度の順位は半減期Mにかかわらずほぼ一定であるが、M=12 h、24 hでは他の半減期に比べて $\theta_B$ と $S_B$ の寄与度が小さくなる。

#### 4.3 M=72 hにおけるカテゴリースコア

式(1)による解析結果と式(3)によるM=72 hの場合の解析結果から得られたカテゴリースコアを示すと図3のようになる。両者を比較すると、それぞれのアイテムにおいて、高さHと土質 $S_E$ を除いてはほぼ同様の値の変化を示している。例えば、盛土高さHにおいて、式(1)ではHが高くなるにつれて、その

カテゴリースコアは小さくなつていくが、式(3)においてはHが3~10 mのカテゴリーで最も高いスコアとなっている。これは、他の半減期についても同様の結果となつていている。

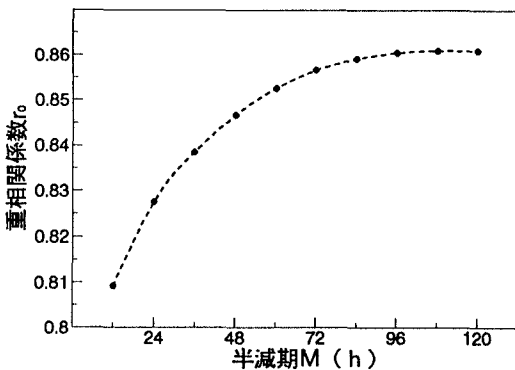


図1 半減期別の重相関係数

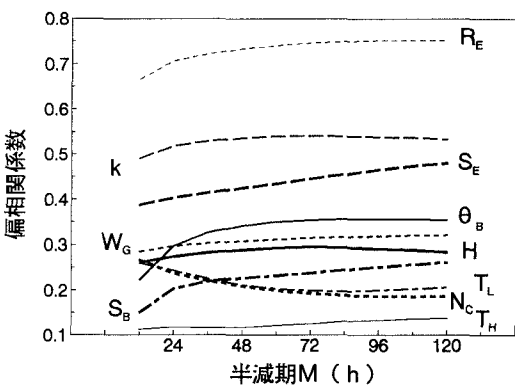


図2 半減期別の偏相関係数

アイテム	H			S_E			N_C			S_B			θ_B			k			W_G			T_L			T_H			R_E		
	1	2	3	1	2	3	1	2	3	1	2	3	1	2	3	1	2	3	1	2	3	1	2	3	1	2	3	1	2	3
$R^{0.3}r^{0.3}$	+ 0.61	- 0.23	1.53				0.07	0.14		0.85	0.85	0.24	0.22	1.30	0.17	0.26	0.86	0.52	3.23	0.96	0.21	0.16	2.83	0.41	0.15	2.47	3.13			
	-			1.05			1.19			0.38		1.10	0.38	1.00	0.41	0.87	1.00	0.63	4.17	0.59	0.36	0.28	2.84	0.52	0.26	2.38	4.91			
$R^{0.5}r^{0.3}$ $M=72h$	+ 0.37	- 0.05	1.49				0.27			0.44	0.44	0.87	0.41	1.09	0.98	0.87	1.00	0.63	0.541	0.199	0.126	0.26	2.84	0.52	0.26	2.38	4.91			
	-			0.41			0.86	1.31		0.446		0.354	0.238	0.354	0.315	0.315	0.541	0.541	0.199	0.126	0.746									

図3 式(1)と式(3)（但し、M=72 h）のカテゴリースコア

#### 5. おわりに

実効雨量 $R_c$ と時間雨量 $r$ のべき乗を0.3とした今回の解析結果からは、アイテムの解釈については十分検討する余地があるが、重相関係数 $r_0$ は半減期Mが48時間で越えたあたりから徐々に収束をはじめる。

今後、実効雨量を考慮に入れた式(3)の解析において、べき乗の値を変化させた解析を行い、重相関係数 $r_0$ やその他の観点から最適な半減期を求め、この半減期による実効雨量を雨量指標と盛土の危険度評価手法を検討したいと考えている。

「参考文献」 1) 山崎ら：鉄道沿線斜面災害時の降雨パターン分析、第31回地盤工学研究発表会、1996.7

2) 岡田ら：統計的手法による鉄道盛土の降雨災害危険度の評価手法、土木学会論文集、No.448/III-19、1992